

文章编号: 1006-9941(2011)02-0126-06

1,1'-二甲基-5,5'-偶氮四唑一水合物和 2,2'-二甲基-5,5'-偶氮四唑的热安全性

胡荣祖^{1,2},高红旭¹,赵凤起¹,赵宏安³,王喜军³,张海²,马海霞⁴

(1. 西安近代化学研究所,陕西 西安 710065; 2. 西北大学数学系/数据分析与计算化学研究所,陕西 西安 710069;

3. 西北大学信息科学与技术学院,陕西 西安 710069; 4. 西北大学化工学院,陕西 西安 710069)

摘要: 借助不同加热速率(β)的非等温 DSC 曲线离开基线的初始温度(T_0)、onset 温度(T_e)和峰顶温度(T_p),采用 Kissinger 法和 Ozawa 法求得热分解反应表观活化能(E_k 和 E_o)和指前因子(A_k),Hu-Zhao-Gao 方程求得 $b_{e0(or p0)}$,Zhao-Hu-Gao 方程求得 $a_{e0(or p0)}$,微热量法确定的比热容(C_p),以及密度(ρ)、热导率(λ)和分解热(Q_d ,取爆热之半)数据;根据 Zhang-Hu-Xie-Li 公式、Hu-Yang-Liang-Xie 公式、Hu-Zhao-Gao 公式、Zhao-Hu-Gao 公式、热力学关系式、Smith 方程、Friedman 公式、Bruckman-Guillet 公式、Frank-Kamenetskii 公式和 Wang-Du 公式和 Yoshida 公式,计算了 1, 1'-二甲基-5,5'-偶氮四唑一水合物(1, 1'-DMATZ)和 2, 2'-二甲基-5,5'-偶氮四唑(2, 2'-DMATZ)在 $\beta \rightarrow 0$ 时的 T_0 、 T_e 和 T_p 值(T_{00} 、 T_{e0} 和 T_{p0})、分解反应的活化热力学参量(ΔG^\ddagger 、 ΔH^\ddagger 、 ΔS^\ddagger)、热爆炸临界温度(T_{be} 和 T_{bp})、绝热至爆时间(t_{lad})、撞击感度 50% 落高(H_{50})、热点起爆临界温度($T_{cr, hoto-spot}$)、热爆炸临界环境温度(T_{acr})、热安全度(S_d)、热爆炸概率(P_{TE})、爆炸能力(E_p)和以间二硝基苯为基准的撞击敏感性(S_s)。结果表明,(1)1, 1'-DMATZ 对热是稳定的;(2)1, 1'-DMATZ 对热的抵抗能力好于 2, 2'-DMATZ;(3)影响二甲基-偶氮四唑热安全的主要因素是甲基在分子中所处的位置。

关键词: 物理化学;1, 1'-二甲基-5,5'-偶氮四唑一水合物;2, 2'-二甲基-5,5'-偶氮四唑;热安全性

中图分类号: TJ55; O642

文献标识码: A

DOI: 10.3969/j.issn.1006-9941.2011.02.002

1 引言

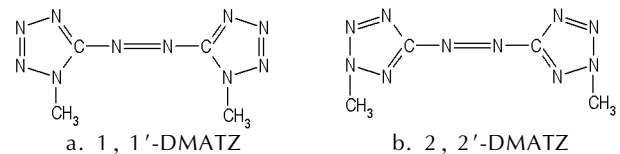
1, 1'-二甲基-5,5'-偶氮四唑一水合物(1, 1'-DMATZ)和 2, 2'-二甲基-5,5'-偶氮四唑(2, 2'-DMATZ)是两种有一定实用价值的含能材料,前者已用作发射药的主含能组分。对热抵抗能力是决定它们能否投入使用的关键指标之一。在这一方面,胡荣祖^[1]报道了它的热行为和裂解过程,赵凤起^[2]研究了其分解过程的动力学参数,但对热安全性研究甚少。本工作采集了非等温 DSC 曲线的初始分解温度(T_0)、onset 温度(T_e)和放热峰顶温度(T_p),用 Kissinger 法^[3]、Ozawa 法^[4]、Hu-Zhao-Gao 法^[5]和 Zhao-Hu-Gao 法^[6]计算了动力学参量,用所得的动力学参量结合炸药参量:密度 ρ 、比热容 C_p 、热导率 λ 和热化学参量(分解热 Q_d),估算了 1, 1'-DMATZ 和 2, 2'-DMATZ 的自加速分解温度、热爆炸临界温度、绝热至爆时间、热点起爆临界温度、发生 50% 爆炸时的特性

落高(H_{50})、安全度、热爆炸临界环境温度、热爆炸概率、爆炸能力(E_p)和以间二硝基苯为基准的撞击敏感性(S_s),这对于考察、评估 1, 1'-DMATZ 和 2, 2'-DMATZ 的热安全性及深入了解热分解过渡到热自燃(热爆炸)的现象、机制和过程,无疑是有益的。

2 实验

2.1 试样

1, 1'-DMATZ 和 2, 2'-DMATZ,西安近代化学研究所制备,纯度大于 99.4%。结构式见 Scheme 1。



Scheme 1 Structure of 1, 1'-DMATZ and 2, 2'-DMATZ

2.2 仪器和实验条件

使用上海天平仪器厂制造的 CDR-1 型差动扫描量热仪,采用镍铬-镍硅平板热电偶和补偿加热丝组成的加热样杆,为了消除挥发组分或分解产物对 DSC 电

收稿日期: 2010-05-19; 修回日期: 2010-06-10

基金项目: 国防科技重点实验室基金(No.9140c3501010601)

作者简介: 胡荣祖(1938-),男,研究员,从事热化学、热分析研究。

e-mail: hurongzu@public.xa.sn.cn

器系统的污染,避免热分解前和热分解过程中因挥发而引起的对热分解过程的干扰,并获得较好的放热峰,试验中采用不锈钢密封池进行 DSC 测定,如图 1 所示。

实验操作条件:气氛为静态空气,参比物为 $\alpha\text{-Al}_2\text{O}_3$, DTA 为 $\pm 100 \mu\text{V}$, DSC 为 $\pm 20.92 \text{ mJ} \cdot \text{s}^{-1}$, 试样量为 0.5 mg , 走纸速率 $20 \text{ mm} \cdot \text{min}^{-1}$, 升温速率 $1, 2, 5, 10, 20 \text{ K} \cdot \text{min}^{-1}$, 实际升温速率按照 $50 \text{ }^\circ\text{C}$ 至反应终止温度范围内实际的升温速率计算。

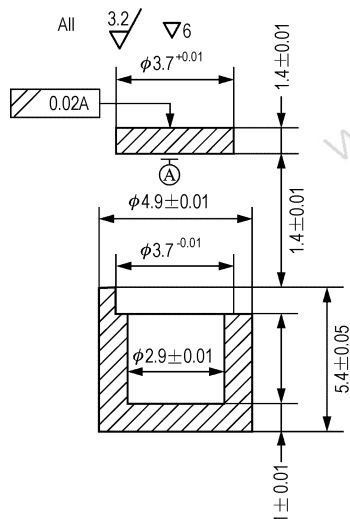


图 1 密封池示意

Fig. 1 Sealed cell scheme

3 结果和讨论

3.1 自加速分解温度

以等速升温速率(β)条件下试样放热分解 DSC 曲线前缘上斜率最大点的切线与外延基线的交点对应的温度(onset 温度, T_e), 定为该实验条件下试样的分解温度, 以 $\beta \rightarrow 0$ 的 T_e 值 [T_{e0} , 由方程(1)算得], 视为试样的自加速分解温度 (self-accelerating decomposition temperature, $T_{\text{SADT}} = T_{e0}$)。

$T_{0 \text{ or } e \text{ or } p} = T_{00 \text{ or } e0 \text{ or } p0} + b\beta_i + c\beta_i^2 + d\beta_i^3, i=1, 2, \dots, L$ (1)
式中, T_0 为 DSC 曲线离开基线的温度, T_p 为放热反应 DSC 曲线的峰顶温度, T_{00} 和 T_{p0} 分别为 $\beta \rightarrow 0$ 时的 T_0 和 T_p 值。

典型的 1, 1'-DMATZ 和 2, 2'-DMATZ 的 DSC 曲线如图 2 所示。将原始数据: $\beta_i, T_{0i}, T_{ei}, T_{pi}$ ($i=1, 2, \dots, 5$) (见表 1), 代入方程 (1), 得: 对 1, 1'-DMATZ, $T_{00} = 466.16 \text{ K}$, $T_{e0} = T_{\text{SADT}} = 468.92 \text{ K}$, $T_{p0} = 473.25 \text{ K}$; 对 2, 2'-DMATZ, $T_{00} = 435.08 \text{ K}$, $T_{e0} = T_{\text{SADT}} = 435.37 \text{ K}$, $T_{p0} = 441.04 \text{ K}$ (见表 1)。

3.2 热分解反应动力学参数

由非等温 DSC 测得的 1, 1'-DMATZ 和 2, 2'-DMATZ 的原始数据列在表 1 中, 由 Kissinger 法、Ozawa 法、Hu-Zhao-Gao 法和 Zhao-Hu-Gao 法算得的热分解反应的动力学参量示于表 2 中。

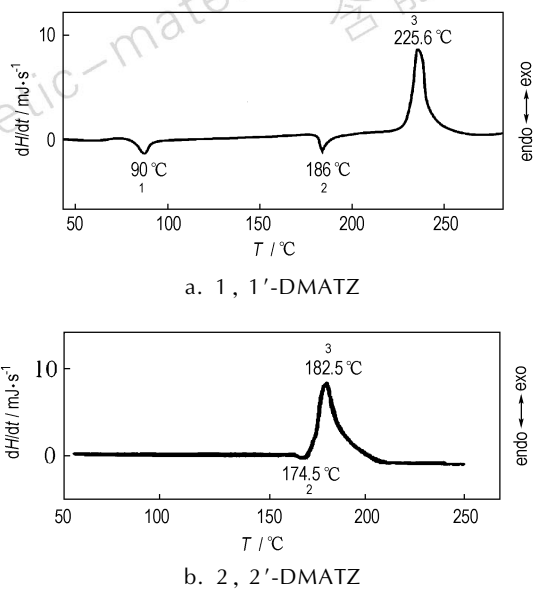


图 2 升温速率 $5 \text{ K} \cdot \text{min}^{-1}$ 时 1, 1'-DMATZ a. 和 2, 2'-DMATZ b. 的 DSC 曲线

1—脱水过程, 2—熔化过程, 3—放热分解过程

Fig. 2 DSC curves of 1, 1'-DMATZ a. and 2, 2'-DMATZ b. at a heating rate of $5 \text{ K} \cdot \text{min}^{-1}$

1—dehydration process, 2—melting process, 3—exothermic decomposition process

表 1 非等温 DSC 测得的 1, 1'-DMATZ 和 2, 2'-DMATZ 的原始数据和 T_{00} 、 T_{e0} 、 T_{p0} 的计算值

Table 1 The original data and calculated values of T_{00} , T_{e0} and T_{p0} of 1, 1'-DMATZ and 2, 2'-DMATZ determined by non-isothermal DSC

heating rate β / $\text{K} \cdot \text{min}^{-1}$	initial data			calculated value ¹⁾		
	T_0/K	T_e/K	T_p/K	T_{00}/K	T_{e0}/K	T_{p0}/K
1, 1'-DMATZ						
1.05	472.45	475.25	479.65	466.16	468.92	473.25
2.12	476.30	479.40	483.90			
5.41	491.15	494.15	498.75			
10.92	505.15	508.05	512.65			
21.98	515.85	519.05	523.40			
2, 2'-DMATZ						
1.08	437.30	438.10	443.90	435.08	435.37	441.04
2.15	442.45	443.45	449.15			
5.29	448.15	449.65	455.65			
10.81	459.45	460.30	466.40			
22.34	468.30	469.75	475.65			

Note: 1) data calculated by Eq. (1).

表 2 用 Kissinger 法、Ozawa 法、Hu-Zhao-Gao 法和 Zhao-Hu-Gao 法算得的热分解反应的动力学参数

Table 2 The kinetic parameters of thermal decomposition reaction obtained by Kissinger's method, Ozawa's method Hu-Zhao-Gao's method and Zhao-Hu-Gao's method

compound	Kissinger's method			Ozawa's method				Hu-Zhao-Gao's method		Zhao-Hu-Gao's method	
	E_k^1 /kJ · mol ⁻¹	lg (A_k/s^{-1})	r_k	E_{Op}^1 /kJ · mol ⁻¹	r_{Op}	E_{Oe}^1 /kJ · mol ⁻¹	r_{Oe}	$\frac{b_{e0}^2}{r_{e0}}$	$\frac{b_{p0}^2}{r_{p0}}$	$\frac{a_{e0}^3}{r_{e0}}$	$\frac{a_{p0}^3}{r_{p0}}$
1, 1'-DMATZ	127.52	11.05	0.9904	129.18	0.9915	126.84	0.9912	$\frac{0.05992}{0.9985}$	$\frac{0.06511}{0.9898}$	$\frac{32.3201}{0.9903}$	$\frac{32.6288}{0.9907}$
2, 2'-DMATZ	156.19	15.69	0.9892	155.80	0.9902	152.81	0.9895	$\frac{0.09362}{0.9869}$	$\frac{0.09306}{0.9878}$	$\frac{42.5495}{0.9882}$	$\frac{42.8330}{0.9891}$

Note: 1) E : apparent activation energy; A : pre-exponential constant; Subscript K, data obtained by Kissinger's method^[3]; Subscript O: data obtained by Ozawa's method^[4].

2) The value of $b_{e0(or p0)}$ is from $\ln \beta_i$ vs. $T_{e(or p)i}$ relation in Hu-Zhao-Gao's equation $^{[5]} \ln \beta_i = \ln \left[\frac{A_0}{b_{e0(or p0)} G(\alpha)} \right] + b_{e0(or p0)} T_{e(or p)i}$.

3) The value of $a_{e0(or p0)}$ is from $\ln \beta_i$ vs. $T_{e(or p)i}$ relation in Zhao-Hu-Gao's equation $^{[6]} \ln \beta_i = \ln \left[\frac{A_0}{(a_{e0(or p0)} + 1) G(\alpha)} \right] + (a_{e0(or p0)} + 1) \ln T_{e(or p)i}$.

3.3 分解反应的热力学参量

将 1, 1'-DMATZ 的 $T = T_{p0} = 473.25$ K, $E = E_k = 127520$ J · mol⁻¹, $A = A_k = 10^{11.05}$ s⁻¹, 和 2, 2'-DMATZ 的 $T = T_{p0} = 441.04$ K, $E = E_k = 156190$ J · mol⁻¹, $A = A_k = 10^{15.69}$ s⁻¹, 分别代入方程(2)、(3)和(4):

$$A \exp\left(-\frac{E}{RT}\right) = \frac{k_B T}{h} \exp\left(-\frac{\Delta G^\ddagger}{RT}\right) \quad (2)$$

$$\Delta H^\ddagger = E - RT \quad (3)$$

$$\Delta G^\ddagger = \Delta H^\ddagger - T\Delta S^\ddagger \quad (4)$$

式中, k_B 为 Boltzmann 常数 (1.3807×10^{-23} J · K⁻¹); h 为 plank 常数 (6.626×10^{-34} J · s)。得分解反应的活化自由能 ΔG^\ddagger 、活化焓 ΔH^\ddagger 、活化熵 ΔS^\ddagger 值: 对 1, 1'-DMATZ, $\Delta G^\ddagger = 145.13$ kJ · mol⁻¹, $\Delta H^\ddagger = 123.58$ kJ · mol⁻¹, $\Delta S^\ddagger = -45.53$ J · K⁻¹ · mol⁻¹; 对 2, 2'-DMATZ, $\Delta G^\ddagger = 133.17$ kJ · mol⁻¹, $\Delta H^\ddagger = 152.52$ kJ · mol⁻¹, $\Delta S^\ddagger = 43.88$ J · K⁻¹ · mol⁻¹。

3.4 热爆炸临界温度

将 Ozawa 公式求得的列在表 2 中的表观活化能 E_{Op} 值和 T_{e0} (或 T_{p0}) 值, 代入 Zhang-Hu-Xie-Li 热爆炸临界温度计算式^[7-9]

$$T_{be0(or bp0)} = \frac{E_{op} - \sqrt{E_{op}^2 - 4E_{op}RT_{e0(or p0)}}}{2R} \quad (5)$$

得: 对 1, 1'-DMATZ, $T_{be0} = 484.00$ K, $T_{bp0} = 488.62$ K; 对 2, 2'-DMATZ, $T_{be0} = 445.98$ K, $T_{bp0} = 451.94$ K。

将表 1 中的 T_{00} , T_{e0} , 及表 2 中的 E_{Op} (或 E_{Oe}) 值, 代入 Hu-Yang-Liang-Xie 热爆炸临界温度计算式^[6-7]

$$\frac{E_{Oe(or Op)}(T_{be0(or bp0)} - T_{00}) + 2RT_{be0(or bp0)}T_{00}}{RT_{be0(or bp0)}^2 + E_{Oe(or Op)}(T_{be0(or bp0)} - T_{00})} \times \frac{E_{Oe(or Op)}}{RT_{be0(or bp0)}^2}(T_{be0(or bp0)} - T_{e0}) = 1 \quad (6)$$

得: 对 1, 1'-DMATZ, $T_{be0} = 478.85$ K, $T_{bp0} = 483.81$ K; 对 2, 2'-DMATZ, $T_{be0} = 442.08$ K, $T_{bp0} = 448.63$ K, 负根和小于 T_{e0} 的根, 不合理, 被排除。

将表 2 中的 $b_{e0(or p0)}$ 和 $T_{e0(or p0)}$ 代入 Hu-Zhao-Gao 的热爆炸临界温度估算式^[11]

$$T_{be0(or bp0)} = T_{e0(or p0)} + \frac{1}{b_{e0(or p0)}} \quad (7)$$

得: 对 1, 1'-DMATZ, $T_{be0} = 485.61$ K, $T_{bp0} = 488.61$ K; 对 2, 2'-DMATZ, $T_{be0} = 446.05$ K, $T_{bp0} = 451.78$ K。

将表 2 中的 $a_{e0(or p0)}$ 和 $T_{e0(or p0)}$ 代入 Zhao-Hu-Gao 的热爆炸临界温度估算式^[12]

$$T_{be0(or bp0)} = \frac{a_{e0(or p0)}}{a_{e0(or p0)} - 1} T_{e0(or p0)} \quad (8)$$

得: 对 1, 1'-DMATZ, $T_{be0} = 483.89$ K, $T_{bp0} = 488.21$ K; 对 2, 2'-DMATZ, $T_{be0} = 445.85$ K, $T_{bp0} = 451.58$ K。

上述结果彼此吻合, 因此, 对 1, 1'-DMATZ, 取 $T_{be0} = 483.09$ K, $T_{bp0} = 487.31$ K, 对 2, 2'-DMATZ, 取 $T_{be0} = 444.99$ K, $T_{bp0} = 459.98$ K 是可以接受的。

3.5 绝热条件下至爆时间 (t_{lad}) 的估算

其原理式^[10]为:

$$C_p = \frac{dT}{dt} = Q_d Af(\alpha) \exp(-E/RT) \quad (9)$$

$$t = \int_{T_0}^T \frac{C_p \exp(E/RT)}{Q_d Af(\alpha)} dT \quad (10)$$

式中, C_p 为比热容, J · g⁻¹ · K⁻¹; T 为绝对温度, K; t 为绝热至爆时间, s; Q_d 为热分解放热量, J · g⁻¹; A 为指前因子, s⁻¹; E 为热分解反应的活化能, J · mol⁻¹; R 为气体常数, 8.314 J · mol⁻¹ · K⁻¹; α 为反应深度, 其表达式为

$$\alpha = \int_{T_0}^T \frac{C_p}{Q_d} dT \quad (11)$$

将1, 1'-DMATZ的比热容 $C_p = 1.16 \text{ J} \cdot \text{g}^{-1} \cdot \text{K}^{-1}$, 机理函数的微分式 $f(\alpha) = (1 - \alpha)^n$, 热分解反应的表观活化能 $E = 127520 \text{ J} \cdot \text{mol}^{-1}$, 指前因子 $A = 10^{11.05} \text{ s}^{-1}$, 分解热 $Q_d = 3188 \text{ J} \cdot \text{g}^{-1}$, 积分上限 $T = T_b = 484.00 \text{ K}$ (T_b 是线性升温条件下热爆炸临界温度), 积分下限 $T_0 = T_{e0} = 468.92 \text{ K}$ (T_e 是线性升温速率 $\beta \rightarrow 0$ 时的DSC曲线的onset温度), 代入式(10)中, 得绝热至爆时间 $t_{Tlad} = 4.90 \text{ s}$ ($n=0$), $t_{Tlad} = 4.92 \text{ s}$ ($n=1$), $t_{Tlad} = 4.95 \text{ s}$ ($n=2$)。

同理, 2, 2'-DMATZ 比热容 $C_p = 1.08 \text{ J} \cdot \text{g}^{-1} \cdot \text{K}^{-1}$, 机理函数的微分式 $f(\alpha) = (1 - \alpha)^n$, 热分解反应的表观活化能 $E = 156190 \text{ J} \cdot \text{mol}^{-1}$, 指前因子 $A = 10^{15.69} \text{ s}^{-1}$, 分解热 $Q_d = 3100 \text{ J} \cdot \text{g}^{-1}$, 积分上限 $T = T_b = 445.980 \text{ K}$, 积分下限 $T_0 = T_{e0} = 435.37 \text{ K}$, 代入式(10)中, 得绝热至爆时间 $t_{Tlad} = 2.58 \text{ s}$ ($n=0$), $t_{Tlad} = 2.59 \text{ s}$ ($n=1$), $t_{Tlad} = 2.60 \text{ s}$ ($n=2$)。

3.6 发生50%爆炸的特性落高

撞击感度是评价含能材料(EMs)使用安全性和作用可靠性, 反映EMs在撞击能量作用下发生燃烧、爆炸化学反应难易程度的重要性能参数, 常用发生50%爆炸的特性落高(H_{50})值来表征。对1, 1'-DMATZ, 由其参量: $\lambda = 32.44 \times 10^{-4} \text{ J} \cdot \text{cm}^{-1} \cdot \text{s}^{-1} \cdot \text{K}^{-1}$, $\rho = 1.62 \text{ g} \cdot \text{cm}^{-3}$, 热化学参量 $Q_d = 3188 \text{ J} \cdot \text{g}^{-1}$, 由Kissinger法所得的列在表2中的动力学参量: $E = 127520 \text{ J} \cdot \text{cm}^{-1}$, $A = 10^{11.05} \text{ s}^{-1}$, $T_1 = 300 \text{ K}$ 代入估算 H_{50} 的Hu-Gao-Zhao-Zhang-Zhao经验方程(12)^[11-12]:

$$0.282312 \lg(H_{50}) + \lg \sqrt{\frac{\lambda}{A\rho Q_d}} - 0.347174 + \frac{0.02612E}{T_1 + 33.8765H_{50}^{0.564623}} = 0 \quad (12)$$

得: $H_{50} = 24.49 \text{ cm}$ 。

同理, 由2, 2'-DMATZ的参量: $\lambda = 2.56 \times 10^{-4} \text{ J} \cdot \text{cm}^{-1} \cdot \text{s}^{-1} \cdot \text{K}^{-1}$, $\rho = 1.62 \text{ g} \cdot \text{cm}^{-3}$, 热化学参量 $Q_d = 3100 \text{ J} \cdot \text{g}^{-1}$, $E = 156190 \text{ J} \cdot \text{mol}^{-1}$, $A = 10^{15.69} \text{ s}^{-1}$, $T_1 = 300 \text{ K}$, 得: $H_{50} = 14.38 \text{ cm}$ 。

3.7 热点起爆临界温度

EMs受外界能量作用, 内部产生热点, 若热点温度达到起爆临界温度, 则EMs会由分解转爆燃或爆炸。因此, 热点起爆临界温度(T_{cr})是评价EMs热安全性的重要参数。对1, 1'-DMATZ, 设定热点临界半径 $a = 10^{-3} \text{ cm}$ ^[12], 时间间隔 $t - t_0 = 10^{-4} \text{ s}$ ^[12-13], 将1, 1'-DMATZ参量 $\rho = 1.62 \text{ g} \cdot \text{cm}^{-3}$, $C_p = 1.16 \text{ J} \cdot \text{g}^{-1} \cdot \text{K}^{-1}$, $\lambda = 32.44 \times 10^{-4} \text{ J} \cdot \text{cm}^{-1} \cdot \text{s}^{-1} \cdot \text{K}^{-1}$, $Q_d = 3188 \text{ J} \cdot \text{g}^{-1}$,

动力学参数: $E = 127520 \text{ J} \cdot \text{mol}^{-1}$, $A = 10^{11.05} \text{ s}^{-1}$, $T_{room} = 293.15 \text{ K}$, 普适气体常数 $R = 8.314 \text{ J} \cdot \text{K}^{-1} \cdot \text{mol}^{-1}$, 代入Bruckman-Guillet的一级分解反应热点起爆临界温度估算式^[13-14]:

$$\left(\frac{4}{3}\pi a^3\right)\rho Q_d \{1 - \exp[-(t - t_0)Ae^{-E/RT_{cr}}]\} = \int_a^\infty 4\pi r^2 \rho C_p \left[\frac{a\theta_0}{r} \operatorname{erfc}\left[\frac{r-a}{2\sqrt{Bt}}\right]\right] dr = \int_a^\infty 4\pi r^2 \rho C_p \left[\frac{a(T_{cr, \text{hot spot}} - T_{room})}{r} \operatorname{erfc}\left[\frac{r-a}{2\sqrt{\frac{\lambda}{\rho C_p} t}}\right]\right] dr \quad (13)$$

得: $T_{cr, \text{hot spot}} = 640.02 \text{ }^\circ\text{C}$ 。当 $T_{room} = 300 \text{ K}$ 时, $T_{cr, \text{hot spot}} = 639.10 \text{ }^\circ\text{C}$ 。

同理, 由2, 2'-DMATZ的参量: $\rho = 1.62 \text{ g} \cdot \text{cm}^{-3}$, $C_p = 1.08 \text{ J} \cdot \text{g}^{-1} \cdot \text{K}^{-1}$, $\lambda = 25.36 \times 10^{-4} \text{ J} \cdot \text{cm}^{-1} \cdot \text{s}^{-1} \cdot \text{K}^{-1}$, $Q_d = 3100 \text{ J} \cdot \text{g}^{-1}$, $E = 156190 \text{ J} \cdot \text{mol}^{-1}$, $A = 10^{15.69} \text{ s}^{-1}$, 得: $T_{cr, \text{hot spot}} = 390.77 \text{ }^\circ\text{C}$ 。当 $T_{room} = 300 \text{ K}$ 时, $T_{cr, \text{hot spot}} = 390.24 \text{ }^\circ\text{C}$ 。

3.8 热爆炸临界环境温度、热安全度和热爆炸概率

若半径 $r = 0.5 \text{ m}$, 密度 $\rho = 1.62 \times 10^3 \text{ kg} \cdot \text{m}^{-3}$ 的1, 1'-DMATZ的平板、无限长圆柱和球被323K(标准差 $\sigma_T = 10 \text{ K}$)的气体环境包围热分解, 其反应活化能 $E = 127520 \text{ J} \cdot \text{mol}^{-1}$, 指前因子 $A = 10^{11.05} \text{ s}^{-1}$, 反应热 $Q_d = 3.188 \times 10^6 \text{ J} \cdot \text{kg}^{-1}$ 导热率 $\lambda = 0.3244 \text{ W} \cdot (\text{m} \cdot \text{K}^{-1})^{-1}$, 则由热爆炸临界环境温度(T_{acr})式[方程(14)], 王鹏-杜志明^[15]热安全度(S_d)式[方程(15)-(19)]和热爆炸概率(P_{TE})式[方程(20)]得: 对平板, $T_{acr} = 335.75 \text{ K}$, $S_d = 33.97\%$, $P_{TE} = 26.04\%$; 对无限长圆柱, $T_{acr} = 342.20 \text{ K}$, $S_d = 73.7\%$, $P_{TE} = 26.04\%$; 对球, $T_{acr} = 346.30 \text{ K}$, $S_d = 76.44\%$, $P_{TE} = 23.56\%$ 。

同理, 2, 2'-DMATZ由 $r = 0.5 \text{ m}$, $\rho = 1.62 \times 10^3 \text{ kg} \cdot \text{m}^{-3}$, 环境温度 323 K , $\sigma_T = 10 \text{ K}$, $E = 156190 \text{ J} \cdot \text{mol}^{-1}$, $A = 10^{15.69} \text{ s}^{-1}$, $Q_d = 3.100 \times 10^6 \text{ J} \cdot \text{kg}^{-1}$, $\lambda = 0.2536 \text{ W} \cdot (\text{m} \cdot \text{K})^{-1}$, 知: 对平板, $T_{acr} = 330.64 \text{ K}$, $S_d = 57.42\%$, $P_{TE} = 42.58\%$; 对无限长圆柱, $T_{acr} = 335.68 \text{ K}$, $S_d = 64.92\%$, $P_{TE} = 35.08\%$; 对球, $T_{acr} = 338.86 \text{ K}$, $S_d = 68.19\%$, $P_{TE} = 31.81\%$ 。

$$T_{acr} = \frac{-E_k}{2RLambertW_{-1}\left(-\frac{1}{2}\sqrt{\frac{\lambda E_k \delta_{cr}}{r^2 Q_p A_k R}}\right)} \quad (14)$$

式中, r 为反应物的特征尺寸(如平板厚度之半, 圆柱和球的半径); δ_{cr} 为热爆炸的界限准数; -1 是Lambert函数的参量。

$$W = \frac{r^2 Q E_K \rho A_K}{\lambda R} \quad (15)$$

$$\mu_T = T_{acr} = \frac{-E_K}{2RLambertW_{-1}\left(-\frac{1}{2}\sqrt{\frac{\lambda E_K \delta_{cr}}{r^2 Q \rho A_K R}}\right)} \quad (16)$$

$$\sigma_\delta = W\left(\frac{E_K - 2R\mu_T}{R\mu_T^4}\right) \exp\left(-\frac{E_K}{R\mu_T}\right) \sigma_T \quad (17)$$

式中, σ_δ 为 Frank-Kamenetskii 参数 δ 的标准差; σ_T 为环境温度的标准差。

$$S(T) = \frac{W(E_K - 2RT)}{\sqrt{2\pi\sigma_\delta RT^4}} \exp\left\{-\left[\frac{\exp\left(-\frac{E_K}{RT}\right)}{W\frac{\exp\left(-\frac{E_K}{RT}\right)}{T^2} - \delta_{cr}}\right]^2 / 2\sigma_\delta^2 - \frac{E_K}{RT}\right\} \quad (18)$$

$$SD = \int_0^{+\infty} \int_0^{+\infty} \frac{W(E_K - 2RT)}{2\pi\sigma_\delta \sigma_T RT^4} \exp\left\{-\left[\frac{\exp\left(-\frac{E_K}{RT}\right)}{W\frac{\exp\left(-\frac{E_K}{RT}\right)}{T^2} - \delta_{cr}}\right]^2 / 2\sigma_\delta^2 - \frac{E_K}{RT} - \frac{(Y-T+\mu_T)^2}{2\sigma_T^2}\right\} dT dy \quad (19)$$

$$P_{TE} = 1 - SD \quad (20)$$

其它符号有通常的含义^[6-8]。

3.9 爆炸能力 (E_p) 值的估算

其估算式^[16]为

$$E_p = \lg(Q_d) - 0.38 \lg(T_{e,10 \text{ K/min}} - 298 \text{ K}) - 1.05 \quad (21)$$

式中, E_p 为爆炸能力, 正值表示可爆炸, 负值表示不可能爆炸, E_p 值愈大表明爆炸是与否愈可靠; Q_d 为分解热, $\text{J} \cdot \text{g}^{-1}$; $T_{e,10 \text{ K/min}}$ 为 $\beta = 10 \text{ K} \cdot \text{min}^{-1}$ 时 DSC 曲线的 onset 温度, K。

为求式中的 $T_{e,10 \text{ K/min}}$ 值, 将表 1 中 1, 1'-DMATZ 和 2, 2'-DMATZ 的原始数据: $\beta_i, T_{ei} (i=1, 2, \dots, 5)$ 分别代入方程(1), 得

$$T_{ei} = 468.92 + 5.8101\beta - 0.2452\beta^2 + 0.00385\beta^3, \quad r^2 = 0.9993 \quad (22)$$

$$T_{ei} = 435.37 + 3.4126\beta - 0.1220\beta^2 + 0.00171\beta^3, \quad r^2 = 0.9958 \quad (23)$$

再将 $\beta = 10 \text{ K/min}^{-1}$ 分别代入方程(22)和(23), 得 $T_{e,10 \text{ K/min}}(1, 1'\text{-DMATZ}) = 500.05 \text{ K}$, $T_{e,10 \text{ K/min}}(2, 2'\text{-DMATZ}) = 459.01 \text{ K}$ 。

据此, 由 1, 1'-DMATZ 的 $Q_d = 3188 \text{ J} \cdot \text{g}^{-1}$, $T_{e,10 \text{ K/min}} = 500.05 \text{ K}$ 和 2, 2'-DMATZ 的 $Q_d = 3100 \text{ J} \cdot \text{g}^{-1}$, $T_{e,10 \text{ K/min}} = 459.01 \text{ K}$ 分别代入式(21), 得 $E_p(1, 1'\text{-DMATZ}) = 1.58$, $E_p(2, 2'\text{-DMATZ}) = 1.60$ 。

3.10 以间二硝基苯为基准的撞击敏感性 (S_s)

其估算式^[16]为

$$S_s = \lg(Q_d) - 0.72 \lg(T_{e,10 \text{ K/min}} - 298 \text{ K}) - 0.36 \quad (24)$$

S_s 为负值, 表示撞击敏感性小于间二硝基苯, 正值表示撞击敏感性大于间二硝基苯。

将 1, 1'-DMATZ 的 $Q_d = 3188 \text{ J} \cdot \text{g}^{-1}$, $T_{e,10 \text{ K/min}} = 500.05 \text{ K}$ 和 2, 2'-DMATZ 的 $Q_d = 3100 \text{ J} \cdot \text{g}^{-1}$, $T_{e,10 \text{ K/min}} = 459.01 \text{ K}$ 分别代入式(24), 得 $S_s(1, 1'\text{-DMATZ}) = 1.48$, $S_s(2, 2'\text{-DMATZ}) = 1.54$ 。

4 结 论

相同实验条件下, $T_{SADT}(1, 1'\text{-DMATZ}) = 468.92 \text{ K} > T_{SADT}(2, 2'\text{-DMATZ}) = 435.37 \text{ K}$, $T_{bo}(1, 1'\text{-DMATZ}) = 484.00 \text{ K} > T_{bo}(2, 2'\text{-DMATZ}) = 445.98 \text{ K}$, $t_{Tlad}(1, 1'\text{-DMATZ}) = 4.90 \text{ s} (n=0) > t_{Tlad}(2, 2'\text{-DMATZ}) = 2.58 \text{ s} (n=0)$, $H_{50}(1, 1'\text{-DMATZ}) = 24.49 \text{ cm} > H_{50}(2, 2'\text{-DMATZ}) = 14.38 \text{ cm}$, $T_{cr}(1, 1'\text{-DMATZ}) = 640.02 \text{ }^\circ\text{C} > T_{cr}(2, 2'\text{-DMATZ}) = 390.77 \text{ }^\circ\text{C}$, $\Delta G^\ddagger(1, 1'\text{-DMATZ}) = 145.13 \text{ kJ} \cdot \text{mol}^{-1} > \Delta G^\ddagger(2, 2'\text{-DMATZ}) = 133.17 \text{ kJ} \cdot \text{mol}^{-1}$, 对球: $T_{acr}(1, 1'\text{-DMATZ}) = 346.30 \text{ K} > T_{acr}(2, 2'\text{-DMATZ}) = 338.86 \text{ K}$, $S_d(1, 1'\text{-DMATZ}) = 76.44\% > S_d(2, 2'\text{-DMATZ}) = 68.19\%$, $P_{TE}(1, 1'\text{-DMATZ}) = 23.56\% > P_{TE}(2, 2'\text{-DMATZ}) = 31.81\%$, $E_p(1, 1'\text{-DMATZ}) = 1.58 < E_p(2, 2'\text{-DMATZ}) = 1.60$, $S_s(1, 1'\text{-DMATZ}) = 1.48 < S_s(2, 2'\text{-DMATZ}) = 1.54$ 的事实, 表明: (1) 1, 1'-DMATZ 对热是稳定的, 其对热抵抗能力好于 2, 2'-DMATZ; (2) 影响二甲基-偶氮四唑热安全的主要因素是甲基在分子中所处的位置。

参考文献:

- [1] 胡荣祖, 卢兴森, 孔扬辉, 等. 1,1'-二甲基-5,5'-偶氮四唑一水合物的热行为和裂解过程研究[J]. 化学学报, 1997, 45: 1119-1123.
HU Rong-zu, LU Xing-sen, KONG Yang-hui, et al. A study of the thermal behaviors and the degradation process of 1,1'-dimethyl-5,5'-azotetrazole monohydrate[J]. *Acta Chimica Sinica*, 1997, 45: 1119-1123.
- [2] ZHAO Feng-qi, HU Rong-zu, CHEN Pei, et al. Kinetics of the exothermic decomposition reaction for 1,1'-dimethyl-5,5'-azotetrazole monohydrate[J]. *Chin J Explos Propel*, 2004, 27(1): 68-73.
- [3] Kissinger H E. Reaction kinetics on differential thermal analysis[J]. *Anal Chem*, 1975, 29(11): 1072-1076.
- [4] Ozawa T. A new method of analyzing thermogravimetric data[J]. *Bull Chem Soc Jpn*, 1965, 38(11): 1881-1886.
- [5] HU Rong-zu, ZHAO Feng-qi, GAO Hong-xu, et al. Estimation

- of critical temperature of thermal explosion for nitrosubstituted azetidines using non-isothermal DSC [J]. *Chin J Chem*, 2009, 27(11): 2145–2154.
- [6] ZHAO Feng-qi, HU Rong-zu, GAO Hong-xu. A simple method based on Harcourt-Esson's equation to estimate the critical temperature of thermal explosion for energetic materials using non-isothermal DSC [J]. *Chin J Chem*, 2009, 27(6): 1067–1072.
- [7] 胡荣祖, 杨正权, 梁燕军, 等. 线性升温条件下炸药热爆炸临界温度的数值解 [J]. *爆炸与冲击*, 1987, 7(1): 348–351.
HU Rong-zu, YANG Zheng-quan, LIANG Yan-Jun, et al. Numerical solution of the critical temperature of thermal explosion of explosive under linearly increasing temperature conditions [J]. *Explos Shock Waves*, 1987, 7(1): 348–351.
- [8] XIE Yi, HU Rong-zu, YANG Zheng-qi, et al. Studies on the critical temperature of thermal explosion for 3-nitro-1,2,4-triazol-5-one (NTO) and its salts [J]. *Propel Explos Pyrot*, 1992, 17(6): 298–302.
- [9] ZHANG Tong-lai, HU Rong-zu, Xie Yi, et al. The estimation of critical temperatures of thermal explosion for energetic materials using non-isothermal DSC [J]. *Thermochim Acta*, 1994, 244(3): 171–176.
- [10] Smith L C. An approximate solution of the adiabatic explosion problem [J]. *Thermochim Acta*, 1975, 13(1): 1–6.
- [11] Friedman M H. Size of "hot-spots" in the impact explosion of exothermic materials [J]. *Trans Faraday Soc*, 1963, 59: 1865–1873.
- [12] 胡荣祖, 赵凤起, 高红旭, 等. 高聚物黏结炸药 JH-94 和 JO-96 撞击感度特性落高的估算 [J]. *含能材料*, 2009, 17(3): 251–254.
HU Rong-zu, ZHAO Feng-qi, GAO Hong-xu, et al. The estimation of characteristic drop heights of impact sensitivity for polymer bonded explosives JH-94 and JO-96 [J]. *Chinese Journal of Energetic Materials (Hanneng Cailiao)*, 2009, 17(3): 251–254.
- [13] Bruckman H J, Guillet J E. Theoretical calculation of hot-spot initiation in explosives [J]. *Can J Chem*, 1968, 41: 3221–3228.
- [14] 胡荣祖, 高红旭, 赵凤起, 等. 含能材料热点起爆临界温度的估算 [J]. *含能材料*, 2009, 17(2): 127–130.
HU Rong-zu, GAO Hong-xu, ZHAO Feng-qi, et al. Estimation of critical temperatures hot-spots initiation in energetic materials [J]. *Chinese Journal of Energetic Materials (Hanneng Cailiao)*, 2009, 17(2): 127–130.
- [15] 王鹏, 杜志明. 化学放热系统热爆炸临界值的随机性 [J]. *环境与安全学报*, 2007, 7(1): 115–118.
WANG Peng, DU Zhi-ming. The randomness of critical of thermal explosion for exothermic system [J]. *J Safety and Environment*, 2007, 7(1): 115–118.
- [16] Yoshida T, Yoshizawa F, Itoh M, et al. Prediction of fire and explosion hazards of reaction chemicals (1). Estimation of explosive properties of self-reactive chemicals from SC-DSC data [J]. *Kogyo Kagaku*, 1987, 48(5): 311–316.

Thermal Safety of 1,1'-Dimethyl-5,5'-azotetrazole and 2,2'-Dimethyl-5,5'-azotetrazole

HU Rong-zu^{1,2}, GAO Hong-xu¹, ZHAO Feng-qi¹, ZHAO Hong-an³, WANG Xi-jun³, ZHANG Hai², MA Hai-xia⁴

(1. Xi'an Modern Chemistry Research Institute, Xi'an 710065, China; 2. Department of Mathematics/Institute of data analysis and computation chemistry, Northwest University, Xi'an 710069, China; 3. College of Communication Science and Engineering, Northwest University, Xi'an 710069, China; 4. College of Chemical Engineering, Northwest University, Xi'an 710069, China)

Abstract: With the help of the initial temperature (T_0), at which DSC curves deviate from the baseline, the onset temperature (T_e) and maximum peak temperature (T_p) from the non-isothermal DSC curves at different heating rates (β), the thermal decomposition activation energy (E_k and E_o) and pre-exponential constant (A_k) obtained by Kissinger's method and Ozawa's method, the value of $b_{e0(or p0)}$ from Hu-Zhao-Gao's equation and the value of $a_{e0(or p0)}$ from Zhao-Hu-Gao's equation, the values of specific heat capacity (C_p) obtained by microcalorimetry, density (ρ) and thermal conductivity (λ), the decomposition heat (Q_d , taking half-explosion heat), Zhang-Hu-Xie-Li's formula, Hu-Yang-Liang-Xie's formula, Hu-Zhao-Gao's formula, Zhao-Hu-Gao's formula, thermodynamic relation formulae, Smith's equation, Friedman's formula, Bruckman-Guillet's formula, Frank-Kamenetskii's formula, Wang-Du's formulas and Yoshida's formulas, the values (T_{00} , T_{e0} and T_{p0}) of T_0 , T_e and T_p corresponding to $\beta \rightarrow 0$, thermodynamic parameters of activation reaction (ΔG^\ddagger , ΔH^\ddagger , ΔS^\ddagger), thermal explosion temperature (T_{be0} and T_{bp0}), adiabatic time-to-explosion (t_{iad}), 50% drop height (H_{50}) of impact sensitivity, critical temperature of hot-spot initiation ($T_{cr, hot-spot}$), critical ambient temperature of thermal explosion (T_{acr}), safety degree (S_d), thermal explosion probability (P_{TE}), explosion potential (E_p) and shock sensitivity relative to m-dinitrobenzene (S_s) of 1,1'-Dimethyl-5,5'-azotetrazole monohydrate (1,1'-DMATZ) and 2,2'-Dimethyl-5,5'-azotetrazole (2,2'-DMATZ) are calculated. The results show that (1) 1,1'-DMATZ is thermally stable; (2) the heat-resistance ability of 1,1'-DMATZ is better than that of 2,2'-DMATZ; (3) the different positions of the methyl group in the molecules are the principal factor affecting the thermal safety.

Key words: physical chemistry; 1,1'-DMATZ; 2,2'-DMATZ; thermal safety

CLC number: TJ55; O642

Document code: A

DOI: 10.3969/j.issn.1006-9941.2011.02.002